Date: 04/08/2011 Page: 1/13

Titre : SSNP124 - Essai biaxial drainé avec un comportemen[...]

Responsable : Sam CUVILLIEZ Clé : V6.03.124

SSNP124 – Essai biaxial drainé avec un comportement DRUCK_PRAGER adoucissant

Résumé:

Ce cas test permet de mettre en œuvre un essai biaxial drainé suivant des approches locales et non-locales sur quatre modélisations différentes lors d'un calcul non linéaire. Cela permet de mettre en avant l'effet du type d'écrouissage négatif, parabolique ou linéaire, dans le cas de modèle D PLAN ou D PLAN GRAD EPSI.

Modélisation A

- $\hbox{-} \hbox{Mod\`ele de type $\tt wdruck_prager} \hbox{ `a\'ecrouissage n\'egatif lin\'eaire pour un confinement de } 2 \, \mathit{Mpa} \; . \\$
- •modèle D_PLAN avec des mailles QUAD4.

Modélisation B:

- •Modèle de type «DRUCK_PRAGER» à écrouissage négatif parabolique pour un confinement de $2\,MPa$.
- •modèle D PLAN avec des mailles QUAD4.

Modélisation C:

- •Modèle de type «DRUCK_PRAGER» à écrouissage négatif linéaire pour un confinement de $2\,MPa$.
- •modèle D PLAN GRAD EPSI avec des mailles QUAD8.

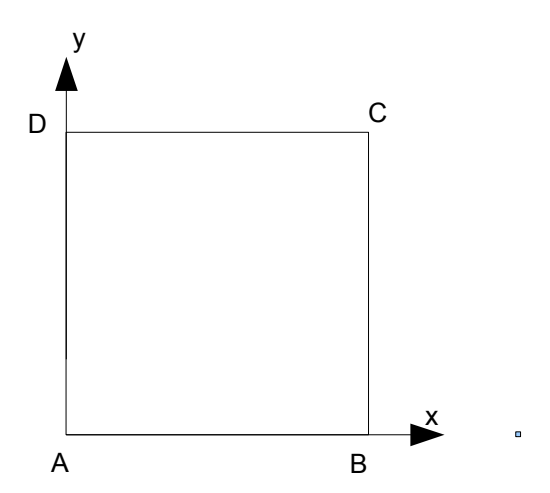
Modélisation D :

- •Modèle de type «DRUCK_PRAGER» à écrouissage négatif parabolique pour un confinement de $2\,Mpa$
- •modèle D PLAN GRAD EPSI avec des mailles QUAD8.

Date: 04/08/2011 Page: 2/13 Responsable: Sam CUVILLIEZ Clé: V6.03.124 Révision: 6995

Problème de référence

1.1 Géométrie



•Dimension du carré : $1m \times 1m$.

1.2 Propriétés du matériau

Élastique

• E = 5800.0 E6 Pa Module d'Young

• v = 0.3Coefficient de Poisson

DRUCK PRAGER avec écrouissage négatif linéaire

Coefficient de dépendance en pression • $\alpha = 0.33$

• $p_{ultm} = 0.01$ Déformation plastique cumulée ultime

• $\sigma^{Y} = 2.57 E6 Pa$ Contrainte plastique • h = -2. E8 Pa Module d'écrouissage

DRUCK PRAGER avec écrouissage négatif parabolique

• $\alpha = 0.33$ Coefficient de dépendance en pression

• $p_{ultm} = 0.01$ Déformation plastique cumulée ultime

• $\sigma^{Y} = 2.57 E6 Pa$ Contrainte plastique • $\sigma_{ulm}^{Y} = 0.57 E6 Pa$ Contrainte ultime

Date: 04/08/2011 Page: 3/13 Responsable: Sam CUVILLIEZ Clé: V6.03.124 Révision: 6995

1.3 Conditions aux limites et chargements

Les conditions aux limites et les chargements appliqués sont les suivants:

Chargements imposés: les chargements sont constants $t \in [1,2.]$

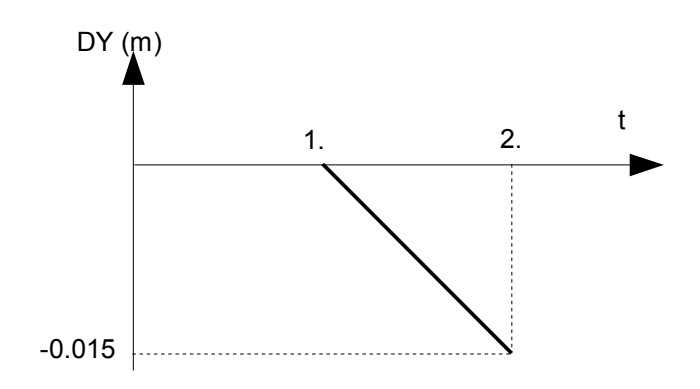
•Coté
$$BC$$
 $p=2.10^6 Pa$

Déplacements imposés sur :

- •Coté AB DY = 0.
- •Coté DA DX = 0.
- Les déplacements varient sur CD progressivement, sur l'intervalle $t \in]1,2.]$, suivant une rampe, comme sur la figure ci-dessous:

$$t=1$$
. $DY=0$.

$$t=2$$
. $DY = -0.015$



Conditions initiales 1.4

•Conditions initiales (*Pa*)

SIXX	SIYY	SIZZ	SIXY	SIXZ	SIYZ
-2. E6	-2. E6	-2. E6	0.0	0.0	0.0

SIP	M11	FH11X	FH11Y
0.0	0.0	0.0	0.0

Date: 04/08/2011 Page: 4/13 Responsable: Sam CUVILLIEZ Clé: V6.03.124 Révision: 6995

Solution de référence

2.1 Méthode de calcul utilisée pour la solution de référence

•Déplacement DY

Le déplacement DY de référence au point C correspond au déplacement imposé. DY = -0.015(t-1)

•Contrainte SIXX

La contrainte SIXX correspond au chargement appliqué

•Contrainte SIYY et déformation plastique cumulée V1

Les valeurs de référence de la contrainte SIYY et de la déformation plastique cumulée VI sont des valeurs de non-régression.

2.2 Grandeurs de référence

- •Contrainte SIXX au point C
- •Contrainte SIYY au point C
- •Déformation plastique cumulée $\ensuremath{\mathit{V1}}$ au point $\ensuremath{\mathit{C}}$
- •Déplacement DY au point C

2.3 Résultat de référence

Grandeur	Point	Inst	Référence*	Référence**	
SIXX (Pa)	C	2.0	-2.0E6	-2.0E6	
	С	1.07	-8.69 <i>E6</i>	-8.69 <i>E6</i>	
SIYY (Pa)		1.16	-1.39E7	-1.37 <i>E7</i>	
SIII (Fa)		1.34	-9.90E6	-9.90 <i>E6</i>	
		1.53	-9.91 <i>E6</i>	-9.90 <i>E6</i>	
	С	1.07	0	0	
VI		1.16	1.20E-3	$1.26E\!-\!3$	
V I		1.34	1.12E - 2	1.12E-2	
		1.53	$2.01E\!-\!2$	$2.01E\!-\!2$	
DY(m)	С	1.07	-1.05 E - 3	-1.05E-3	
		1.16	-2.40E-3	-2.40E-3	
		1.34	-5.10E-3	-5.10E-3	
		1.53	-7.95E-3	-7.95E-3	
* écrouissage linéaire ** écrouissage parabolique					

^{*} écrouissage linéaire ** écrouissage parabolique

2.4 Incertitude sur la solution

- •Solution analytique pour les grandeurs DY et SIXX
- •Solution numérique pour les grandeurs SIYY et V1

Date: 04/08/2011 Page: 5/13

Clé: V6.03.124

Titre : SSNP124 - Essai biaxial drainé avec un comportemen[...]

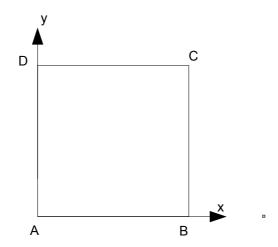
Responsable : Sam CUVILLIEZ

3 Modélisation A

3.1 Caractéristiques de la modélisation A

 $\begin{tabular}{ll} \textbf{Mod\'elisation} & \texttt{D}_{\tt}PLAN \end{tabular}. \label{table_plan_plan}$

Comportement de DRUCK PRAGER à écrouissage négatif linéaire.



Nombre de nœuds

4 5

Nombre de mailles

Soit:

SEG2 4

QUAD4 1

Le carré est dans l'espace $[0.,1.]\times[0.,1.]$.

Coordonnées des points (m):

A:(0.,0.)

B:(1.,0.)

C:(1.,1.)

D:(0.,1.)

Groupes de nœuds :

A, B

Mailles

M1: surface ABDC

M2: segment AB

M3: segment BC

M4 : segment CD

M5: segment DA

Date: 04/08/2011 Page: 6/13 Responsable : Sam CUVILLIEZ Clé: V6.03.124 Révision : 6995

3.2 Résultats

Grandeur	Point	Inst	Référence	Tolérance (%)
SIXX (Pa)	С	2.0	-2.0E6	0.1
	С	1.07	-8.69 <i>E6</i>	0.1
CIVV (Da)		1.16	-1.39 <i>E7</i>	0.1
SIYY(Pa)		1.34	-9.90 <i>E6</i>	0.1
		1.53	-9.91 <i>E6</i>	0.1
	С	1.07	0	0.1
V1		1.16	1.20E-3	0.1
V I		1.34	1.12E-2	0.1
		1.53	$2.01E\!-\!2$	0.1
	C	1.07	-1.05 E - 3	0.1
DV (m)		1.16	-2.40E-3	0.1
DY(m)		1.34	-5.10 E - 3	0.1
		1.53	-7.95E-3	0.1

Date: 04/08/2011 Page: 7/13

Clé: V6.03.124

Titre : SSNP124 - Essai biaxial drainé avec un comportemen[...]

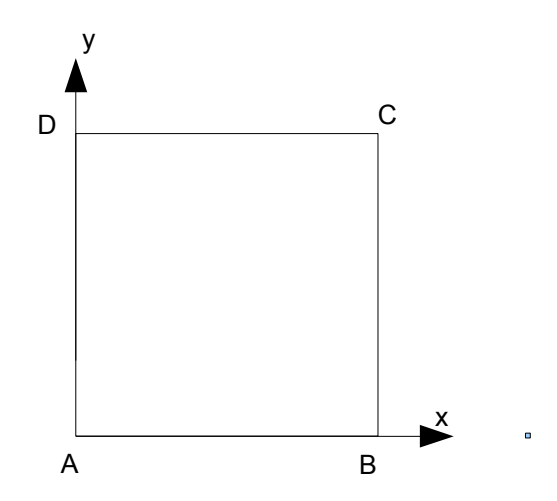
Responsable: Sam CUVILLIEZ

4 Modélisation B

4.1 Caractéristiques de la modélisation B

Modélisation D PLAN.

Comportement de DRUCK_PRAGER à écrouissage négatif parabolique.



Nombre de nœuds

4 5

Nombre de mailles

Soit:

QUAD4 1

Le carré est dans l'espace $[0.,1.]\times[0.,1.]$.

Coordonnées des points (m):

A:(0.,0.)

B:(1.,0.)

C:(1.,1.)

D:(0.,1.)

Groupes de nœuds :

A, B

Mailles

M1: surface ABDC

M2: segment AB

M3: segment BC

M4: segment CD

M5: segment DA

Date: 04/08/2011 Page: 8/13 Responsable : Sam CUVILLIEZ Clé: V6.03.124 Révision: 6995

Grandeurs testées et résultats 4.2

Grandeur	Point	Inst	Référence	Tolérance (%)
SIXX (Pa)	С	2.0	-2.0E6	0.1
	С	1.07	-8.69 <i>E6</i>	0.1
SIYY(Pa)		1.16	-1.37 <i>E7</i>	0.1
SIII (Fa)		1.34	-9.90 <i>E6</i>	0.1
		1.53	-9.91 <i>E6</i>	0.1
	С	1.07	0	0.1
VI		1.16	1.26 E - 3	0.1
V I		1.34	1.12E-2	0.1
		1.53	$2.01E\!-\!2$	0.1
	C	1.07	-1.05 E - 3	0.1
DY(m)		1.16	-2.40E-3	0.1
DI(m)		1.34	-5.10 E - 3	0.1
		1.53	-7.95E-3	0.1

Date: 04/08/2011 Page: 9/13

Clé: V6.03.124

Titre : SSNP124 - Essai biaxial drainé avec un comportemen[...]

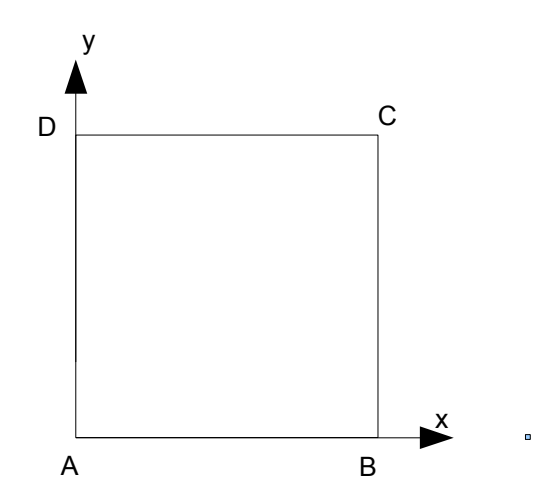
Responsable: Sam CUVILLIEZ

5 Modélisation C

5.1 Caractéristiques de la modélisation C

Modélisation D_PLAN_GRAD_EPSI.

Comportement de DRUCK PRAGER à écrouissage négatif linéaire.



Nombre de nœuds

8

Nombre de mailles

Soit:

SEG3

QUAD8 1

Le carré est dans l'espace $[0.,1.] \times [0.,1.]$.

Coordonnées des points (m):

A:(0.,0.)

B:(1.,0.)

C:(1.,1.)

D:(0.,1.)

Groupes de nœuds :

A, B, C, D

Groupes de mailles :

BLOC: surface ABCD

AB, BC, CD, DA

Date: 04/08/2011 Page: 10/13 Responsable : Sam CUVILLIEZ Clé: V6.03.124 Révision: 6995

5.2 Grandeurs testées et résultats

Grandeur	Point	Inst	Référence	Tolérance (%)
SIXX (Pa)	С	2.0	-2.0E6	0.1
	С	1.07	-8.69 <i>E6</i>	0.1
CIVV (Da)		1.16	-1.39 <i>E</i> 7	0.1
SIYY(Pa)		1.34	-9.90 <i>E6</i>	0.1
		1.53	-9.91 <i>E6</i>	0.1
	C	1.07	0	0.1
V1		1.16	1.20E-3	0.1
V I		1.34	1.12E-2	0.1
		1.53	2.01 E-2	0.1
	C	1.07	-1.05 E - 3	0.1
DY(m)		1.16	-2.40E-3	0.1
DI(m)		1.34	-5.10 E - 3	0.1
		1.53	-7.95E-3	0.1

Date: 04/08/2011 Page: 11/13

Clé: V6.03.124

Titre : SSNP124 - Essai biaxial drainé avec un comportemen[...]

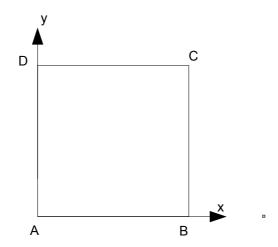
Responsable : Sam CUVILLIEZ

6 Modélisation D

6.1 Caractéristiques de la modélisation D

Modélisation D_PLAN_GRAD_EPSI.

Comportement de DRUCK PRAGER à écrouissage négatif parabolique.



Nombre de nœuds

Nombre de mailles

Soit :

SEG3 4

QUAD8 1

Le carré est dans l'espace $[0.,1.]\times[0.,1.]$.

8 5

Coordonnées des points (m):

A:(0.,0.)

B:(1.,0.)

C:(1.,1.)

D:(0.,1.)

Groupes de nœuds :

A, B, C, D

Groupes de mailles :

BLOC: surface ABDC AB, BC, CD, DA

Date: 04/08/2011 Page: 12/13 Responsable : Sam CUVILLIEZ Clé: V6.03.124 Révision: 6995

6.2 Grandeurs testées et résultats

Grandeur	Point	Inst	Référence	Tolérance (%)
SIXX (Pa)	C	2.0	-2.0E6	0.1
	С	1.07	-8.69 <i>E6</i>	0.1
CIVV (D)		1.16	-1.37 <i>E7</i>	0.1
SIYY(Pa)		1.34	-9.90 <i>E6</i>	0.1
		1.53	-9.91 <i>E6</i>	0.1
	С	1.07	0	0.1
VI		1.16	1.26 E - 3	0.1
V I		1.34	1.12E-2	0.1
		1.53	2.01 E-2	0.1
		1.07	-1.05 E - 3	0.1
DV (m)		1.16	-2.40E-3	0.1
DY(m)	C	1.34	-5.10 E - 3	0.1
		1.53	-7.95E-3	0.1

Date: 04/08/2011 Page: 13/13 Responsable: Sam CUVILLIEZ Clé: V6.03.124 Révision: 6995

Synthèse des résultats

La loi de comportement de type DRUCK_PRAGER avec une écrouissage négatif linéaire et avec un écrouissage négatif parabolique donne des résultats satisfaisants avec les modélisations D_PLAN et D PLAN GRAD EPSI.